

III-69 支持力係数 N_f に関する実験値

名古屋大学 正員 ○市原松平
同 学生員 森信夫

[1] まえがき

慣用されている極限支持力式は N_c , N_g , N_f を含む 3 つの項の和からなっている。これら各項が安全側の値である場合には、各項の和である極限支持力式も安全側の値を与える。ここに N_c , N_g は $\gamma=0$ として求められるために簡単な計算で求められるが、 N_f は底面摩擦がないと仮定し、任意の傾斜荷重に対して求められる。実際の基礎には底面摩擦があるので、この N_f がどのような値を示すかを実験から求めてみた。

[2] 実験装置と実験方法

実験に用いた砂槽を写真-1 に示す。砂槽の内法は、長さ \times 深さ \times 寸法 = 100 cm \times 50 cm \times 30 cm で、これに密なる砂 ($\gamma = 1.59 \text{ g/cm}^3$, $\gamma' = 1.55 \text{ g/cm}^3$) を詰めて、その表面に水平に置いた載荷板に載荷した。載荷棒は砂槽上を自由に移動できる半円形フレームに支持され、任意の傾斜角 (鉛直線に対して δ) で載荷板に載荷できる。載荷板に作用する全載荷重をワイヤーロープで引き、この値は置針式のスプリングバランスで計測した。ワイヤーはアリーナを通してモーターで 16 回/分の速度で引いた。載荷板は二次元状態を維持し、かつ側壁摩擦を除くために図-1 に示す 3 分離載荷板と尖端が 3 つにわかれている載荷棒を用いた。中央載荷板に作用する荷重は荷重計 (500 kg) で計測し、この値をもって中央載荷板の二次元状態の極限支持力値 (破壊荷重) とした。

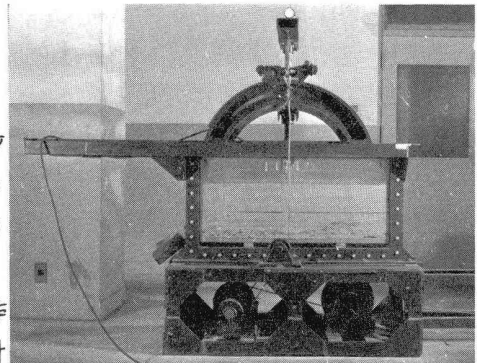
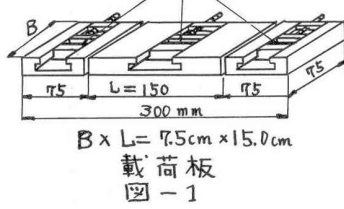


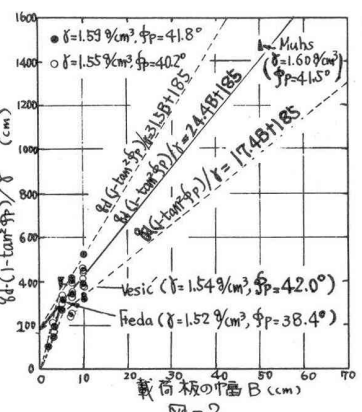
写真-1 荷重作用点



[3] 載荷板の中心に作用した鉛直荷重による支持力係数

中央載荷板 ($B \times L$) の中心に鉛直荷重を作用させたときの破壊荷重を P_{bd} とし、極限支持力を β_d 、支持力係数を N_f とすると、これらの 3 者の間に次の関係がある。
$$N_f = \frac{2P_{bd}}{\gamma B^2 L} = \frac{2}{\gamma B} \beta_d \quad \dots (1)$$

実験結果と載荷板の幅 B との関係は図-2 のようになる。ここに ϕ_p は平面ひずみ三軸圧縮試験から求めた内部摩擦角である。式(1)を用いて、 B に対する N_f を図示すると、図-3 のようになる。すなわち、 N_f は二次元荷重の場合に載荷板の幅によって異なる値をとり、 B の値が大きくなると N_f は減少する。 $B = 300 \text{ cm}$ 以上では実用上 N_f の平均値は次式で与えられる。



$$N_s = \frac{48.8}{(1-\tan^2 \phi_p)} \quad \dots \dots (2)$$

この式は実験した密な砂の内部摩擦角の範囲内で正しい。図-4は式(2)の N_s とTerzaghi等の N_s の慣用値との比較を示す。42° $\leq \phi_p \leq 39^\circ$ であれば式(2)の示す実験値の平均はSchuh-Henzの値に等しく、また実験値のうちの最小値(式は図に示す)はTerzaghiの値に等しい。

[4] 偏心傾斜荷重による支持力係数

載荷板に対して荷重の作用状態を図-5に3種類示した。すなわち、(1) 鉛直荷重が e だけ偏心して作用。(2) δ だけ傾斜した荷重が板の中心点に作用。(3) 傾斜荷重が e だけ偏心して作用した各状態を示す。それぞれの破壊荷重を P_{eo} , P_{os} , P_{es} とし、これらの値の鉛直成分を P_{oo} で除した値を支持力減少係数と名付けた。各減少係数は次の実験式で与えられる。

$$\text{図-5の(1)} \quad P_{eo}/P_{oo} = (1 - 2k_1 \frac{e}{B})^2 \quad \dots \dots (3)$$

$$\text{図-5の(2)} \quad \cos \delta \cdot P_{os}/P_{oo} = (1 - k_2 \tan \delta)^3 \quad \dots \dots (4)$$

$$\text{図-5の(3)} \quad \text{荷重の作用点が前に偏心する場合} \quad \dots \dots (5)$$

$$\cos \delta \cdot P_{es}/P_{oo} = (1 - 2k_1 \frac{e}{B})^2 (1 - k_2 \tan \delta)^n \quad \dots \dots (6)$$

荷重の作用点が後に偏心する場合

$$\cos \delta \cdot P_{es}/P_{oo} = [(1 - 2k_1 \frac{e}{B})^2 (1 - k_2 \tan \delta)^{-\frac{1}{4}}]^2 (1 - k_2 \tan \delta)^n \quad \dots \dots (6)$$

$$\text{いま, } \cos \delta \cdot P_{es}/P_{oo} = \frac{1}{2} \cdot \gamma B'^2 L N_r^* \quad \dots \dots (7)$$

これと式(1)を用いると、式(5), (6)の左辺は

$$\cos \delta \cdot P_{es}/P_{oo} = (B'/B)^2 \cdot N_r^*/N_r \quad \dots \dots (8)$$

となる。 B' は有効幅。従って、(5), (6)から

$$\left. \begin{aligned} N_r^*/N_r &= (1 - k_2 \tan \delta)^n \\ B'/B &= (1 - 2k_1 \frac{e}{B}) \quad e > 0 \\ B'/B &= (1 - 2k_1 \frac{e}{B}) (1 - k_2 \tan \delta)^{-\frac{1}{4}} \quad e < 0 \end{aligned} \right\} \quad \dots \dots (9)$$

式(9)の第1式が荷重の傾斜による支持力減少係数、第2、第3式は載荷板の有効幅減少係数である。支持力を $q_d = \frac{1}{2} \cdot \gamma B' N_r^*$ で計算するとき、式(9)の第1式の N_r はTerzaghiまたはSchultzeを使用する。実験値の散乱から各係数 k_1 , k_2 , n は次の値をとる。 k_1 : 0.7~0.8 (平均値 0.88) k_2 : 0.7~0.9 (平均値 0.8) n : 3/2~7/2 (平均 5/2)、計算には k_1 を 0.85 とすればよい。この $q_d = \frac{1}{2} \cdot \gamma B' N_r^*$ で求めた支持力は、Meyerhof, Hansenらの支持力簡便式から得られたものよりも大きな値が得られる。

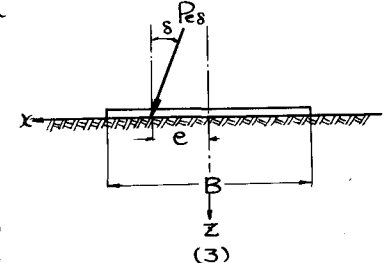
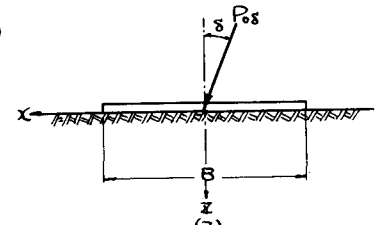
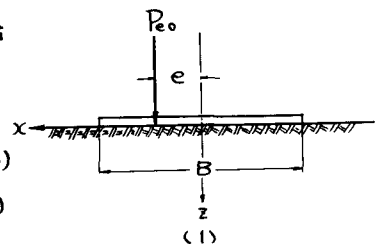
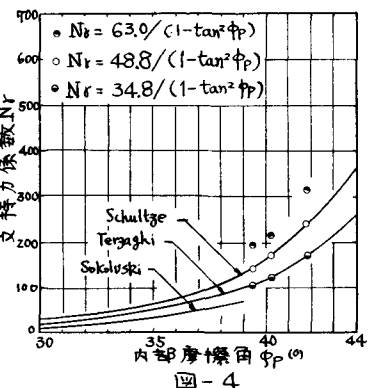
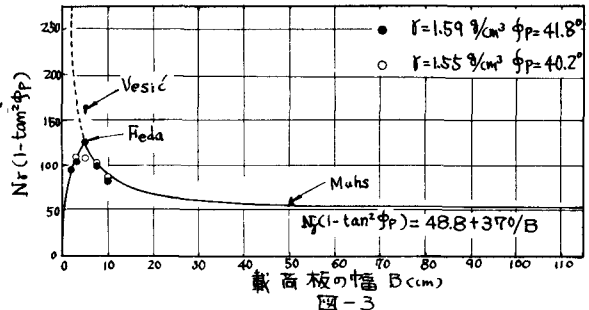


図-5